

УДК 517.9:681.5.013:629.735.45-519 (045)

Бельская А. А., Артемьева О. Н., Калакура Р. Т.
 Национальный авиационный университет, Киев

ЛИНЕЙНАЯ МАТЕМАТИЧЕСКАЯ МОДЕЛЬ ПАРЫ ДИСТАНЦИОННО ПИЛОТИРУЕМЫХ ВЕРТОЛЁТОВ ОДНОВИНТОВОЙ СХЕМЫ В ФРОНТАЛЬНОМ СТРОЮ С МОНОГРУЗОМ

В статье приведена линейная математическая модель (ММ), полученная в результате линеаризации ММ бокового движения дистанционно пилотируемого вертолета с учётом влияния моногруза. Линейная ММ вертолета может быть использована при моделировании собственных движений вертолета в боковом канале, а также при синтезе систем управления различными режимами работы бокового канала

Математическая модель пространственного движения вертолѐта

Дистанционно управляемый вертолет необходимо рассматривать как наиболее технологически простое и недорогое изделие.

В этом смысле целесообразно использовать одновинтовую компоновку с хвостовым рулевым винтом, имеющим электрический привод. Схема сил и моментов, действующих на вертолѐт, представлена на рис. 1.

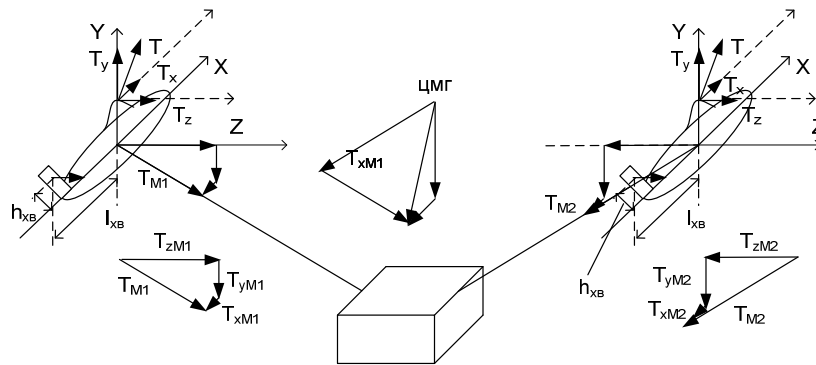


Рис. 1. Два вертолета в фронтальном строю с общей подвеской моногруза

Пренебрегая упругостью конструкции фюзеляжа, полагая, что скорость ветра равна нулю (путевая и воздушная скорости равны), а оси системы координат OXYZ направлены по главным осям инерции вертолѐта (все

центробежные моменты инерции равны нулю), составим уравнения пространственного движения (три уравнения равновесия сил и три уравнения равновесия моментов) предполагая при этом, что Земля плоская и не вращается:

$$\begin{aligned}
 m(\dot{V}_x + \omega_y V_z - \omega_z V_y) &= T_x + R_x - mg \sin \vartheta \cos \gamma - T_{xMi}; \\
 m(\dot{V}_y + \omega_z V_x - \omega_x V_z) &= T_y + R_y - mg \cos \vartheta \cos \gamma - T_{yMi}; \\
 m(\dot{V}_z + \omega_x V_y - \omega_y V_x) &= T_z + R_z + T_{xв} + mg \cos \vartheta \sin \gamma + T_{zM_i}; \\
 I_x \dot{\omega}_x + (I_z - I_y) \omega_y \omega_z &= T_z h_{нв} - T_{xв} h_{хв} + M_x^a; \\
 I_y \dot{\omega}_y + (I_x - I_z) \omega_x \omega_z &= M_{рнв} - T_{xв} (b_{хв} - \Delta x) - T_z \Delta x + M_y^a; \\
 I_z \dot{\omega}_z + (I_y - I_x) \omega_x \omega_y &= M_{рхв} - T_x h_{нв} + T_y \Delta x + M_z^a.
 \end{aligned} \tag{1}$$

Здесь I_x, I_y, I_z – основные моменты инерции вертолѐта; ϑ, γ – углы тангажа и крена фюзеляжа вертолѐта; $\omega_x, \omega_y, \omega_z$ – угловые скорости фюзеляжа; T_x, T_y, T_z – составляющие вектора тяги несущего винта; $T_{xMi}, T_{yMi}, T_{zM_i}$ – суммарная

реакция веса и аэродинамического сопротивления моногруза; $T_{xв}$ – тяга хвостового винта; $M_{рнв}, M_{рхв}$ – реактивные моменты несущего и хвостового винтов;

M_x^a, M_y^a, M_z^a – аэродинамические моменты, действующие на фюзеляж; V_x, V_y, V_z – составляющие воздушной скорости вертолёта V ; R_x, R_y, R_z – проекции аэродинамических сил на связанные оси.

Аэродинамические силы, действующие на фюзеляж, определяются в скоростной системе координат. Их проекции на связанные оси равны (α, β – углы атаки и скольжения вертолёта.):

$$\begin{aligned} R_x &= X_a \cos \beta \cos \alpha - Y_a \sin \alpha - Z_a \sin \beta \cos \alpha, \\ R_y &= -X_a \cos \beta \sin \alpha + Y_a \cos \alpha - Z_a \sin \beta \sin \alpha, \\ R_z &= X_a \sin \beta + Z_a \cos \beta, \end{aligned} \quad (2)$$

Так как интенсивное маневрирование при решении задач мониторинга не предполагается, то разделим пространственное движения вертолёта на два изолированных движения – продольное и боковое. Кроме того, при линеаризации этих уравнений будем считать, что

скорость вращения несущего винта $\Omega_{\text{НВ}}$ стабилизирована.

Линеаризация математической модели бокового движения вертолёта

При отсутствии ветра земная и воздушная скорости равны. Кроме того, введем допущение, что $\omega_z = 0$ и $\mathcal{G} = \text{const}$. В таком случае уравнения бокового движения в связанной системе координат:

$$\begin{aligned} m(\dot{V}_z + V_y \omega_x - V_x \omega_y) &= Z(V_z, \omega_x, \omega_y, \eta, \varphi_{\text{ХВ}}), \\ I_x \dot{\omega}_x &= M_x(V_z, \omega_x, \omega_y, \eta, \varphi_{\text{ХВ}}), \\ I_y \dot{\omega}_y &= M_y(V_z, \omega_x, \omega_y, \eta, \varphi_{\text{ХВ}}). \end{aligned} \quad (3)$$

В правых частях уравнений (3) обозначены боковая суммарная сила и моменты, действующие на вертолёт в соответствии с уравнениями (1), (2). Определим линейные приращения этих сил и момента:

$$\begin{aligned} \Delta Z &= \left(\frac{\partial Z}{\partial V_z} \right)_0 \Delta V_z + \left(\frac{\partial Z}{\partial \omega_x} \right)_0 \Delta \omega_x + \left(\frac{\partial Z}{\partial \omega_y} \right)_0 \Delta \omega_y + \left(\frac{\partial Z}{\partial \eta} \right)_0 \Delta \eta + \left(\frac{\partial Z}{\partial \varphi_{\text{ХВ}}} \right)_0 \Delta \varphi_{\text{ХВ}}, \\ \Delta M_x &= \left(\frac{\partial M_x}{\partial V_z} \right)_0 \Delta V_z + \left(\frac{\partial M_x}{\partial \omega_x} \right)_0 \Delta \omega_x + \left(\frac{\partial M_x}{\partial \omega_y} \right)_0 \Delta \omega_y + \left(\frac{\partial M_x}{\partial \eta} \right)_0 \Delta \eta + \left(\frac{\partial M_x}{\partial \varphi_{\text{ХВ}}} \right)_0 \Delta \varphi_{\text{ХВ}}, \\ \Delta M_y &= \left(\frac{\partial M_y}{\partial V_z} \right)_0 \Delta V_z + \left(\frac{\partial M_y}{\partial \omega_x} \right)_0 \Delta \omega_x + \left(\frac{\partial M_y}{\partial \omega_y} \right)_0 \Delta \omega_y + \left(\frac{\partial M_y}{\partial \eta} \right)_0 \Delta \eta + \left(\frac{\partial M_y}{\partial \varphi_{\text{ХВ}}} \right)_0 \Delta \varphi_{\text{ХВ}}; \\ \Delta(V_y \omega_x)_0 &= V_{y0} \Delta \omega_x + \omega_{x0} \Delta V_y; \quad \Delta(V_x \omega_y)_0 = V_{x0} \Delta \omega_y + \omega_{y0} \Delta V_x; \quad \omega_{x0} = 0, \omega_{y0} = 0, V_{x0} = V, V_{y0} = 0. \end{aligned} \quad (4)$$

Здесь η – угол отклонения автомата перекоса в боковом канале; $\varphi_{\text{ХВ}}$ – шаг хвостового винта, индекс «0» определяет точку линеаризации.

Записываем исходное уравнение в нормальной безразмерной форме. Для этого делим первое уравнение на mV , второе – на $I_x L/V$, а третье – на $I_y L/V$. Обозначим $\Delta V_z/V = V_z$, $\Delta \omega_x L/V = \omega_x$, $\Delta \omega_y L/V = \omega_y$, $\Delta \eta = \eta$, $\Delta \varphi_{\text{ХВ}} = \varphi_{\text{ХВ}}$.

Используя эти обозначения, систему линеаризованных уравнений бокового канала вертолёта в отклонениях запишем в виде

$$\begin{aligned} \dot{V}_z &= a_z^V V_z + (a_z^{\omega_x} - V_{y0}) \omega_x + (a_z^{\omega_y} + V_{x0}) \omega_y + a_z^{\eta} \eta + a_z^{\varphi_{\text{ХВ}}} \varphi_{\text{ХВ}}, \\ \dot{\omega}_x &= a_x^V V_z + a_x^{\omega_x} \omega_x + a_x^{\omega_y} \omega_y + a_x^{\eta} \eta + a_x^{\varphi_{\text{ХВ}}} \varphi_{\text{ХВ}}, \\ \dot{\omega}_y &= a_y^V V_z + a_y^{\omega_x} \omega_x + a_y^{\omega_y} \omega_y + a_y^{\eta} \eta + a_y^{\varphi_{\text{ХВ}}} \varphi_{\text{ХВ}}, \quad \dot{\eta} = a_{\eta}^{\eta} \eta. \end{aligned} \quad (5)$$

Коэффициенты системы уравнений (5) обозначим следующим образом:

$$\begin{aligned} a_{11} &= a_z^V = \frac{1}{m} \left(\frac{\partial Z}{\partial V_z} \right)_0, \quad a_{12} = (a_z^{\omega_x} - V_{y0}/L) = \frac{1}{L} \left(\frac{1}{m} \left(\frac{\partial Z}{\partial \omega_x} \right)_0 - V_{y0} \right), \quad a_{13} = (a_z^{\omega_y} + V_{x0}/L) = \frac{1}{L} \left(\frac{1}{m} \left(\frac{\partial Z}{\partial \omega_y} \right)_0 + V_{x0} \right), \\ a_{14} &= a_z^{\eta} = \frac{1}{mV} \left(\frac{\partial Z}{\partial \eta} \right)_0, \quad b_{11} = a_z^{\eta} = \frac{1}{mV} \left(\frac{\partial Z}{\partial \eta} \right)_0, \quad b_{12} = a_z^{\varphi_{\text{ХВ}}} = \frac{1}{mV} \left(\frac{\partial Z}{\partial \varphi_{\text{ХВ}}} \right)_0, \quad a_{21} = a_x^V = \frac{L}{I_x} \left(\frac{\partial M_x}{\partial V_z} \right)_0, \\ a_{22} &= a_x^{\omega_x} = \frac{L}{I_x} \left(\frac{\partial M_x}{\partial \omega_x} \right)_0, \quad a_{23} = a_x^{\omega_y} = \frac{L}{I_x} \left(\frac{\partial M_x}{\partial \omega_y} \right)_0, \quad b_{21} = a_x^{\eta} = \frac{L}{I_x V} \left(\frac{\partial M_x}{\partial \eta} \right)_0, \quad b_{22} = a_x^{\varphi_{\text{ХВ}}} = \frac{L}{I_x V} \left(\frac{\partial M_x}{\partial \varphi_{\text{ХВ}}} \right)_0, \\ a_{31} &= a_y^V = \frac{L}{I_y} \left(\frac{\partial M_y}{\partial V_z} \right)_0, \quad a_{32} = a_y^{\omega_x} = \frac{L}{I_y} \left(\frac{\partial M_y}{\partial \omega_x} \right)_0, \quad a_{33} = a_y^{\omega_y} = \frac{L}{I_y} \left(\frac{\partial M_y}{\partial \omega_y} \right)_0, \quad b_{31} = a_y^{\eta} = \frac{L}{I_y V} \left(\frac{\partial M_y}{\partial \eta} \right)_0, \\ b_{32} &= a_y^{\varphi_{\text{ХВ}}} = \frac{L}{I_y V} \left(\frac{\partial M_y}{\partial \varphi_{\text{ХВ}}} \right)_0, \quad a_{43} = a_{\eta}^{\eta} = \frac{V}{L}. \end{aligned}$$

Систему уравнений бокового движения вертолёта представим в матричной форме:

$$\dot{y} = Ay + B\Delta. \quad (6)$$

Здесь $y = (V_z \omega_x \omega_y \gamma)^T$ – вектор состояния;

$\Delta = (\eta \varphi_{\text{хв}})^T$ – вектор управления. Матрицы

A и B имеют следующий вид:

$$A = \begin{pmatrix} a_{11} & a_{12} & a_{13} & a_{14} \\ a_{21} & a_{22} & a_{23} & a_{24} \\ a_{31} & a_{32} & a_{33} & 0 \\ 0 & 0 & a_{43} & 0 \end{pmatrix}, \quad B = \begin{pmatrix} b_{11} & b_{12} \\ b_{21} & b_{22} \\ b_{31} & b_{32} \\ 0 & 0 \end{pmatrix}. \quad (7)$$

Коэффициенты можно получить в процессе лётных испытаний или продувки модели вертолета в аэродинамической трубе.

Можно произвести аналитический расчёт, применив принцип подобия, по известным

$$a_{11} = -1.86, a_{12} = -0.196, a_{13} = -0.2, a_{14} = 0.15, a_{21} = -0.25, a_{22} = -0.7, a_{23} = -0.2, a_{24} = 0.065, \\ a_{31} = -0.55, a_{32} = -0.3, a_{33} = -0.8, a_{43} = 20, b_{11} = 1.5, b_{12} = 2, b_{21} = 0.3, b_{22} = 0.3, b_{31} = 0.25, b_{32} = 0.01.$$

Синтез системы управления

Оператор управляет ведущим вертолетом (левым), а ведомый имеет систему стабилизации своего положения относительно ведущего. Ниже будет рассмотрена система управления движением ведущего вертолётa в режиме маршрутного полёта. Для удобства оператора синтезирована система с автономным управлением автоматом перекоса и шагом

$$A = \begin{pmatrix} a_{11} & a_{12} & a_{13} & a_{14} \\ a_{21} & a_{22} & a_{23} & a_{24} \\ a_{31} & a_{32} & a_{33} & 0 \\ 0 & 0 & a_{43} & 0 \end{pmatrix}, \quad A = \begin{pmatrix} -1.86 & -0.196 & -0.2 & 0.15 \\ -0.25 & -0.7 & -0.2 & 0.065 \\ -0.55 & -0.3 & -0.8 & 0 \\ 0 & 0 & 20 & 0 \end{pmatrix}, \quad B = \begin{pmatrix} b_{11} & b_{12} \\ b_{21} & b_{22} \\ b_{31} & b_{32} \\ 0 & 0 \end{pmatrix}, \quad B = \begin{pmatrix} 1.5 & 2. \\ 0.3 & 0.3 \\ 0.25 & 0.01 \\ 0 & 0 \end{pmatrix}$$

2. Характеристическое уравнение получим, приравняв нулю определитель характеристической матрицы:

$$E = \begin{pmatrix} 1 & 0 & 0 & 0 \\ 0 & 1 & 0 & 0 \\ 0 & 0 & 1 & 0 \\ 0 & 0 & 0 & 1 \end{pmatrix}, \quad Q_2 = pE - A, \quad Q_2 = \begin{pmatrix} p+1.86 & .196 & .2 & -.15 \\ .25 & p+.7 & .1 & -.065 \\ .15 & .2 & p+.8 & 0 \\ 0 & 0 & -20 & p \end{pmatrix};$$

$$|Q_1| = p^4 + 3.36p^3 + 4.431p^2 + 3.558p + 1.521 = 0.$$

Корни характеристического уравнения вертолётa равны $(-1.045, -1.629, -.3432 \pm .881i)$. Вертолёт по боковому каналу находится вблизи колебательной границы устойчивости.

3. Для удобства оператора обеспечим автономное управление с помощью автомата перекоса и общего шага хвостового винта.

Замкнутая система «Вертолет+САУ» описывается матричным уравнением

$$\dot{z} = C_2 z + K_2 U_{23} + f_2 \quad (9)$$

аэродинамическим характеристикам вертолета соответствующей компоновки.

Пусть массо-геометрические параметры вертолета в боковом канале равны: $m = 250 \text{ кг}$, $I_x = 120 \text{ Нс}^2 \text{ м}$, $I_y = 190 \text{ Нс}^2 \text{ м}$, $L = 0.5 \text{ м}$ – расстояние от передней кромки фюзеляжа до центра масс. Скорость полёта $V = 30 \text{ мс}^{-1}$.

Для дистанционно управляемого вертолета, с компоновкой известной модели МИ-1 в соответствии с принципом подобия были рассчитаны элементы матриц (7). Результаты расчётов приведены ниже:

хвостового винта в боковом канале. Синтез производился с использованием программного пакета MathCad.

1. Систему уравнений (6) представим виде

$$\dot{z} = Az + B D_2 + f_2 \quad (8)$$

Здесь $z = (v_3 \omega_1 \omega_2 \psi)^T$ – вектор состояния,

$D_2 (\eta \varphi_2)$ – вектор управления. Матрицы равны:

$$U_{23} = \begin{pmatrix} v_{33} \\ \omega_{13} \\ \omega_{23} \end{pmatrix}, \quad C_2 = \begin{pmatrix} c_{21} & 0 & 0 & 0 \\ 0 & c_{22} & 0 & 0 \\ 0 & 0 & c_{23} & 0 \\ 0 & 0 & a_{43} & 0 \end{pmatrix}, \quad c_{21} = c_{22} = -2, c_{23} = -1, \quad K_2 = \begin{pmatrix} k_{21} & 0 & 0 & 0 \\ 0 & k_{22} & 0 & 0 \\ 0 & 0 & k_{23} & 0 \\ 0 & 0 & 0 & 0 \end{pmatrix}, \quad k_{21} = k_{22} = 1.5, \quad k_{23} = 2,$$

$$T_{21} = -1/c_{21} = .5c, \quad T_{22} = -1/c_{22} = 1c, \quad T_{23} = -1/c_{23} = 1c.$$

4. Приравняв правые части уравнений (8) и (9), определим вектор управлений $D_2(\eta \varphi_2)$:

$$Az + B D_2 + f_2 = C_2 z + K_2 U_{23} + f_2. \quad (10)$$

Матрица B прямоугольная, поэтому приближенное решение уравнения (10) ищем

через псевдообратную относительно B матрицу

$$M_2 = (B^T B)^{-1} B^T = \begin{pmatrix} -0.19 & 1.138 & 3.772 & 0 \\ .632 & -.787 & -2.849 & 0 \end{pmatrix}.$$

Решением уравнения (10) будет

$$D_1 = (B^T B)^{-1} B^T [(C_1 - A)y + K_1 U_3].$$

Законы управления соответствуют строчкам полученного выше решения:

$$\begin{aligned} \eta &= -0.2844v_{33} + 2.277\omega_{13} + 7.543\omega_{23} + 2.386v_3 + 0.7528\omega_1 - .5646\omega_2 - 0.0456\psi, \\ \varphi_2 &= 0.9485v_{33} - 1.5751\omega_{13} - 5.699\omega_{23} - 1.852v_3 - 0.4946\omega_1 + .5389\omega_2 + 0.0437\psi. \end{aligned} \quad (11)$$

Законы управления (11) были реализованы в системе Matlab-Simulink, структура модели представлена на рис. 2.

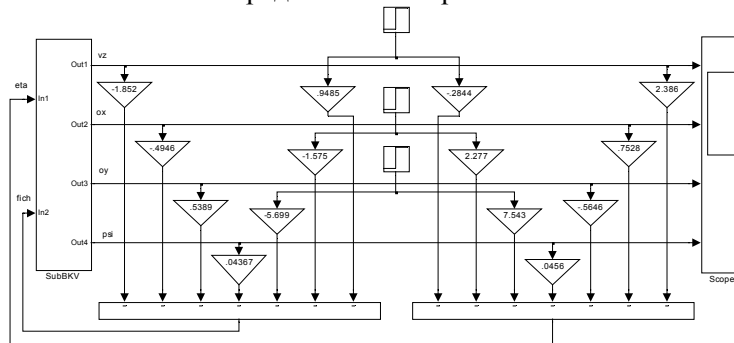


Рис.2. Структурная схема модели бокового канала системы «САУ- пара вертолетов»

В левой стороне рисунка изображен блок «SubBKV», который соответствует боковому каналу вертолёта, уравнения (6). Структурная схема модели представлена на рис.3.

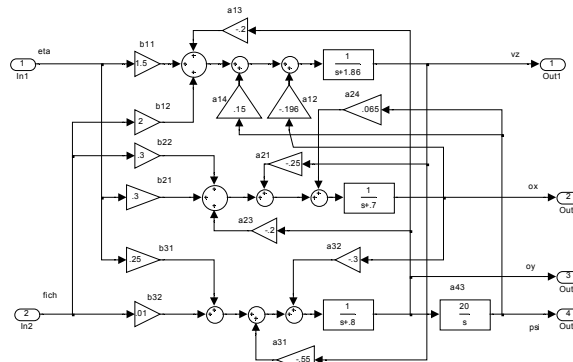


Рис.3. Структурная схема модели бокового канала вертолета